

21

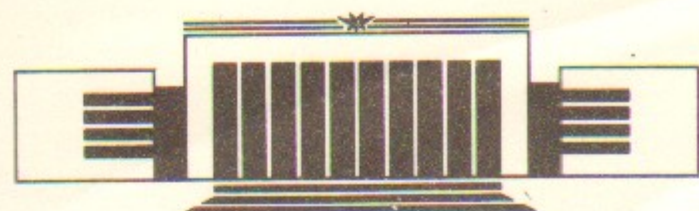


ИНСТИТУТ ЯДЕРНОЙ ФИЗИКИ СО АН СССР

Астрелин В.Т., Иванов В.Я.

ИТЕРАЦИОННЫЙ АЛГОРИТМ
ОПРЕДЕЛЕНИЯ ПЛОТНОСТИ ТОКА,
ОГРАНИЧЕННОГО ПРОСТРАНСТВЕННЫМ ЗАРЯДОМ

ПРЕПРИНТ 87-133



НОВОСИБИРСК

Численное вычисление плотности тока

Итерационный алгоритм
определения плотности тока,
ограниченного пространственным зарядом

Астрелин В.Т., Иванов В.Я.

Институт ядерной физики
630090, Новосибирск 90, СССР

АННОТАЦИЯ

Предложен новый итерационный метод решения стационарных самосогласованных задач и проведено его сравнение с другими известными методами.

При решении самосогласованных задач формирования пучков заряженных частиц важное место занимает выбор метода определения плотности тока, эмиттируемого с поверхности, в условиях ограничения тока пространственным зарядом. В этом случае на поверхности эмиттера S должно выполняться условие равенства нулю нормальной компоненты самосогласованного электрического поля

$$E_n|_S = 0. \quad (1)$$

На практике обычно используют [1] метод установления, метод выделения прикатодной особенности (локальный «закон 3/2») или метод непосредственной аппроксимации [2] условия (1), который приводит к решению системы линейных алгебраических уравнений

$$AJ + E_{n0} = 0, \quad (2)$$

где E_{n0} — нормальная компонента поля на катоде в отсутствие объемного заряда, J — вектор плотности тока, A — квадратная матрица, размерность которой равна числу точек N на эмиттере, в которых аппроксимируется условие (1). Неэкономичность метода установления для решения стационарных задач очевидна. Наиболее тонкими моментами использования «закона 3/2» являются выбор параметров эквивалентных элементарных диодов, аппроксимирующих поле прикатодной зоны, и релаксационных параметров, обес-

§1. АЛГОРИТМ ВЫЧИСЛЕНИЯ ПЛОТНОСТИ ТОКА

печивающих сходимость итерационного процесса. Глубокое методическое исследование этих вопросов проведено в статье Головина [1]. Справедливо критикуя недостатки, присущие данному методу, автор приходит к выводу (стр.1223), что «он почти никогда не сходится». Такой вывод находится в разительном противоречии с тем фактом, что именно «закон 3/2» является наиболее широко распространенным на практике методом решения самосогласованных задач, апробированным множеством исследователей, результаты которых подвергаются сомнению Головиным. На наш взгляд, сложность использования данной методики заключается в следующем. В окрестности эмиттирующих участков с малым радиусом кривизны требуется значительное измельчение параметров дискретизации объемного заряда и связанных с ними размеров элементарных диодов. Кроме того, в ряде случаев необходимо модифицировать «закон 3/2»: при эмиссии частиц в поперечном к направлению движения магнитном поле, при наличии в окрестности катода зарядового фона других потоков частиц и т. д. Основной же недостаток этого метода заключается в том, что для разномасштабных задач с элементами малого размера на катоде сходимость итерационного процесса существенно замедляется.

Основным недостатком используемой Головиным методики решения системы (2), как отмечается им самим, является необходимость решения на каждой нелинейной итерации N краевых задач, в каждой из которых рассчитывается одна траектория, а ее вклад в поле составляет строку матрицы A в то время, как вычисление плотности тока по «закону 3/2» содержит не более десятка арифметических операций. В последующей публикации [3] Головин несколько изменяет свое отношение к «закону 3/2» и предлагает комбинированный метод, в котором эмиттирующие участки делятся на «хорошие» и «плохие» по отношению к локальной одномерности прикатодной задачи. Для «хороших» участков плотность тока рассчитывается по «закону 3/2», а для «плохих» решается система (2), размерность которой теперь пропорциональна числу точек эмиссии на «плохих» участках. Ниже нами предлагается алгоритм вычисления плотности тока с выполнением условия (1), вычислительная сложность которого на каждой итерации эквивалентна сложности формулы «закона 3/2».

Рассмотрим плоский диод с конечным значением напряженности поля $E_0 \leq 0$ на поверхности катода. Если принять потенциал катода равным нулю, то распределение потенциала в зазоре определяется уравнением Пуассона

$$\frac{d^2\Phi}{dx^2} = -4\pi\rho(x) = 4\pi J \sqrt{\frac{m}{2e\varphi}}. \quad (3)$$

здесь ρ — плотность объемного заряда, J — плотность тока, e и m — заряд и масса покоя электрона. Умножив это уравнение на $d\varphi/dx$ и проинтегрировав по x , получим

$$\left(\frac{d\varphi}{dx}\right)^2 - E_0^2 = 16\pi J \sqrt{\frac{m\varphi}{2e}}. \quad (4)$$

Проводя вторичное интегрирование, получим искомое выражение для плотности тока

$$J = \frac{A}{x^2} \left(\sqrt{\varphi} + \frac{9}{16} \frac{A}{J} E_0^2 \right) \left(\sqrt{\varphi} + \frac{9}{8} \frac{A}{J} E_0^2 \right)^2, \quad A = \frac{1}{9\pi} \sqrt{\frac{2e}{m}}. \quad (5)$$

Это выражение представляет собой закон эмиссии для конечного значения напряженности электрического поля на катоде и переходит в «закон 3/2» при $E_0 \rightarrow 0$. В дифференциальной форме при малых значениях E_0 это соотношение принимает вид

$$d(J^2) = -\frac{27}{8} \frac{A^2}{x^2} \varphi d(E_0^2). \quad (6)$$

Очевидно, его можно рассматривать как правило изменения плотности тока, необходимого для уменьшения величины электрического поля на катоде от малого значения E_0 до нуля. В этом случае φ и x можно рассматривать как величины, характеризующие для реального эмиттера эквивалентный диод: $\varphi(x)$ — потенциал в точке, отстоящей на некоторое малое расстояние x от поверхности эмиттера по нормали. Отличие от плоского диода проявится, в первую очередь, в величине коэффициента в формуле (6). Однако, имея ввиду проведение итерационного процесса с последовательным изменением плотности тока, согласно (6), можно уменьшить величину этого коэффициента, уменьшив тем самым скорость приближения к истинному решению, чтобы предотвратить

значительное проникновение в процессе итераций в нефизичную область $E_0 > 0$. Понятно, что в этом случае требования к выбору величины x не являются столь жесткими, как при использовании «закона 3/2».

Некоторые затруднения возникают в связи с тем, что физическим условием существования эмиссии является условие $E_0 \leq 0$, в то время как при установлении решения в итерационном процессе знак E_0 может меняться. Кроме того, при $E_0 \approx 0$ вблизи поверхности катода образуется особенность в распределении объемного заряда $\rho \sim x^{-2/3}$, которая при $E_0 > 0$ может нарушить ход итерационного процесса. Для учета этих обстоятельств в формулу (6) необходимо ввести корректирующий множитель B , доопределяющий величину $d(J^2)$ при $E_0 > 0$ и ускоряющий выход счетной схемы из этой области.

В целом предлагаемый алгоритм заключается в проведении итераций по следующей схеме:

1. Решается краевая задача для уравнения Пуассона с объемным зарядом ρ_v , полученным на предыдущей итерации

$$\Delta\varphi = -4\pi\rho_v; \quad (7)$$

2. Плотность тока k -й трубы тока пересчитывается по формуле

$$J_{k,v+1}^2 = \max \left\{ 0, J_{k,v}^2 - A^2 \varphi \left(\frac{E_0}{d} \right)^2 B \right\}, \quad (8)$$

где φ — потенциал точки, отстоящей на расстоянии d по нормали к поверхности эмиттера. Эмпирически подобранный коэффициент B принимался равным

$$B = \begin{cases} -1, & E_0 \leq 0, \\ 10, & E_0 > 0. \end{cases}$$

Численное интегрирование траектории начинается из точки, отстоящей на расстоянии $s \ll d$ по нормали от эмиттера. Начальная скорость принимается равной $v_0 = \sqrt{2e\varphi} (s/d)^{2/3}$, что соответствует плоскому диоду. В общем случае при $s < d$ малая начальная скорость практически не влияет на результат. В случае $\varphi < 0$ траектория не эмиттируется, и для предотвращения ключевого режима запирания траекторий принимается $J_{k,v+1} = (1 - \omega_v) J_{k,v}$, где ω_v — коэффициент релаксации;

3. Рассчитываются траектории частиц в электрических и магнитных полях. Из уравнения неразрывности

$$\operatorname{div} \vec{\rho}_{v+1} \vec{v} = 0 \quad (9)$$

находится распределение объемного заряда и магнитного поля пучка на основе закона полного тока;

4. Производится релаксация объемного заряда по схеме

$$\rho_{v+1} = \omega_v \tilde{\rho}_{v+1} + (1 - \omega_v) \rho_v. \quad (10)$$

Аналогичным образом релаксируется собственное магнитное поле пучка;

5. Производится проверка критериев окончания итерационного процесса

$$\|J_{v+1} - J_v\| < \epsilon_1, \quad \|(E_n^{(v)})|_S\| < \epsilon_2 \quad (11)$$

для заданных малых величин ϵ_1 и ϵ_2 . При невыполнении указанных условий процесс повторяется, начиная с шага 1. При этом используется полученное на шаге 4 значение ρ_{v+1} .

§2. РЕЗУЛЬТАТЫ ЧИСЛЕННЫХ ЭКСПЕРИМЕНТОВ

Вышеприведенный алгоритм включен в пакет прикладных программ POISSON-2 [4] — [6], для которого расчет электростатических полей в двумерных областях произвольной формы проводится методом граничных коллокаций с аппроксимацией решения интегральных уравнений теории потенциала кубическими сплайнами. Проверка сходимости итерационного процесса проводилась для модели плоского диода и диода с пирсовской геометрией электродов. Она показала, что при начальной плотности заряда $\rho_0 = 0$ алгоритм (7) — (11) сходится плохо, что вызвано отсутствием согласованности величин ρ , v и φ на первых итерациях и приближенным характером зависимости (6) при конечных значениях E_0 . Поэтому для решения задач несколько итераций проводилось с использованием «закона 3/2», а затем промежуточный результат уточнялся алгоритмом (7) — (11). Для диода с плоскими электродами использовались следующие счетные параметры: число узлов коллокаций на поверхностях — 44, узлов равномерной пространственной сетки — 143, траекторий — 10, радиусы катода и анода $R = 1$ см, диодный зазор $D = 1$ см, потенциал анода $U = 1$ кВ.

Итерационные параметры были выбраны равными $2s=d=0,1$ см. Первые четыре итерации проводились с применением «закона 3/2», где $\omega=0,3$, а следующие — с алгоритмом (7)–(11) при $\omega=0,7$. В процессе расчета третий знак в величине тока диода установился за 9 итераций, а электрическое поле на катоде E_0 по отношению к вакуумному уменьшилось в 20–40 раз. Отличие уставновившегося значения тока $I=0,226$ А от теоретического $I_{\text{теор}}=0,232$ А объясняется дискретностью представления пространственного заряда в прикатодной области.

Для модели пирсовского диода были выбраны следующие параметры: число узлов коллокаций — 26, узлов сетки — 168, траекторий — 10, $R=1$ см, $d=4$ см, $U=100$ кВ, $5s=d=0,2$ см. Итерационный процесс проводился так же, как и для плоского диода. За 9 итераций установился ток $I=14,7$ А ($I_{\text{теор}}=14,5$ А). Время решения приведенных задач на ЭВМ ЕС-1061 составило около 6,5 мин.

Для сравнения приведем результаты решения этих же задач с применением «закона 3/2» с оптимизированными итерационными параметрами. В случае плоского диода решение $I=0,209$ А с установленным третьим знаком тока получено за 8 итераций, а пирсовского диода ($I=14,0$ А) — за 7 итераций.

Таким образом, предлагаемый алгоритм позволяет провести итерационный процесс для получения самосогласованного решения за количество итераций, сопоставимое с их количеством в «законе 3/2», причем с более высокой точностью решения. Отметим, что в приведенных здесь примерах ограничение в форме поверхности катода (которая выбрана параллельно линии узлов сетки) связано с точечным представлением пространственного заряда в ППП POISSON-2. Для повышения точности решения задач с произвольной формой катода необходимо использовать какой-либо способ распределения заряда по ячейке пространственной сетки. В настоящее время проводится апробация этих алгоритмов.

ЛИТЕРАТУРА

- Головин Г.Т. О точности и эффективности различных методов решения стационарных самосогласованных задач. — Журн. вычисл. матем. и матем. физ., 1985, т.25, № 8, с.1220—1234.
- Мокин Ю.И. Алгоритм определения плотности тока эмиссии в задаче о фокусировке пучка. — Журн. вычисл. матем. и матем. физ., 1980, т.20, № 3, с.671—681.
- Головин Г.Т. Комбинированный метод решения двумерных стационарных самосогласованных задач. — Журн. вычисл. матем. и матем. физ., 1987, т.27, № 5, с.700—710.
- Астрелин В.Т., Иванов В.А. Пакет программ для расчета характеристик интенсивных пучков релятивистских заряженных частиц. — Автометрия, 1980, № 3, с.92—99.
- Астрелин В.Т. Расчет источников сильноточных релятивистских электронных пучков. — Автореф. дис. канд. техн. наук. — Новосибирск, 1986. — 8 с.
- Иванов В.А. Методы автоматизированного проектирования приборов электроники. Ч. II. Методы решения задач электронной оптики. — Новосибирск: 1986, изд-во Ин-та матем. СО АН СССР. — 198 с.

Итерационные алгоритмы были выбраны методом Банделла-Джонса.
Система уравнений получается из приведенного в работе
однородного уравнения вида $\nabla^2 \psi = \rho$, где ψ — потенциал, ρ — плотность тока. Решение этого уравнения сводится к решению системы линейных уравнений с коэффициентами, определяемыми по формуле
$$A_{ij} = \frac{1}{\pi} \int_{\Omega} \frac{\partial \psi_i}{\partial n_j} d\sigma$$

где Ω — область, ограниченная контуром, $\partial \Omega$ — граница, n_j — единичный нормальный вектор к границе, ψ_i — потенциал на границе, $d\sigma$ — элемент длины границы.

Астрелин В.Т., Иванов В.Я.

**Итерационный алгоритм
определения плотности тока,
ограниченного пространственным зарядом**

В работе предложен итерационный алгоритм для определения плотности тока, ограниченной пространственным зарядом. Алгоритм основан на методе итераций с использованием метода Гаусса-Зейделя. Для решения уравнения вида $\nabla^2 \psi = \rho$ используется метод итераций с использованием метода Гаусса-Зейделя. Алгоритм имеет следующие основные этапы:

- На первом этапе задаются начальные значения потенциала ψ_0 и коэффициентов матрицы A .
- На втором этапе вычисляется разница между текущим и предыдущим потенциалами $\Delta \psi = \psi - \psi_0$.
- На третьем этапе проверяется условие остановки итерации: если $\|\Delta \psi\| < \epsilon$, то вычисление завершено, иначе переходим к следующему итерационному циклу.

Ответственный за выпуск С.Г.Попов

Работа поступила 11 сентября 1987 г.

Подписано в печать 13.10.1987 г. МН 08405

Формат бумаги 60×90 1/16 Объем 0,8 печ.л., 0,7 уч.-изд.л.

Тираж 250 экз. Бесплатно. Заказ № 133

*Набрано в автоматизированной системе на базе фотонаборного автомата ФА1000 и ЭВМ «Электроника» и отпечатано на ротапринте Института ядерной физики СО АН СССР,
Новосибирск, 630090, пр. академика Лаврентьева, 11.*